



УДК 621.382

А. В. Демьяненко, И. В. Семерник, Ю. И. Алексеев
Южный федеральный университет (Таганрог)

Анализ параметров генератора на лавинно-пролетном диоде при работе на согласованную нагрузку¹

Обсуждены результаты решения уравнения автогенератора на лавинно-пролетном диоде (ЛПД) при работе на согласованную нагрузку. С учетом импедансных свойств ЛПД даются соотношения, определяющие амплитуду и частоту автоколебаний.

СВЧ-генератор, лавинно-пролетный диод, импедансные свойства

Расширение функциональных возможностей твердотельных автогенераторов, в том числе и генераторов на лавинно-пролетном диоде (ЛПД), проявившееся в успешном освоении хаотических режимов их работы как основы создания эффективных шумовых источников [1]–[4], требует от исследователей строгих решений, позволяющих достаточно точно определять основные параметры генераторов в детерминированных режимах. Именно от параметров детерминированных режимов зависят характеристики хаотических режимов, в том числе и параметры шумовых генераторов, получаемых в устройствах, допускающих детерминированный хаос. В этой связи предлагаемая статья, посвященная строгому определению основных параметров генераторов на ЛПД в детерминированном режиме, является актуальной и даже необходимой.

Система уравнений генератора на ЛПД при согласованной нагрузке имеет вид

$$\begin{cases} di_1/dt = i_2; \\ di_2/dt = -\left[\frac{R_{p-n}(I_1, I_0) + R_H}{L}\right]i_2 - \\ -\left\{\omega_0^2 - \frac{\omega_1[X_{p-n}(I_1, I_0) - X_{C_{dr}}]}{L}\right\}i_1, \end{cases} \quad (1)$$

где i_1 , I_1 , i_2 – СВЧ-ток диода, его амплитуда и производная соответственно; I_0 – ток питания

диола; R_{p-n} , X_{p-n} – активная и реактивная составляющие импеданса кристалла диода, обусловленные лавинными процессами и пролетным эффектом соответственно; $R_H = 4.3$ Ом – сопротивление нагрузки; L – индуктивность резонатора; ω_0 – резонансная частота колебательного контура генератора; ω_1 – текущая частота; $X_{C_{dr}}$ – реактивное сопротивление пролетной области диода.

Введем обозначения

$$R = R_{p-n}(I_1, I_0) + R_H;$$

$$X = X_{p-n}(I_1, I_0) - X_{C_{dr}}$$

и перепишем исследуемую систему уравнений (1) в следующем виде:

$$d^2i_1/dt^2 + (R/L)di_1/dt + (\omega_0^2 - \omega_1 X/L)i_1 = 0. \quad (2)$$

Для решения уравнения (2) воспользуемся методом медленно меняющихся амплитуд.

Уравнение генератора в общем случае может быть записано в следующем виде:

$$d^2i_1/dt^2 + \omega_0^2 i_1 = \phi_1(i_1, di_1/dt).$$

Применение упомянутого метода анализа считается обоснованным, если функция $\phi_1(i_1, di_1/dt)$ мала по сравнению с остальными слагаемыми уравнения.

¹ Результаты, изложенные в статье, получены в рамках выполнения гранта № 8.2461.2014/К.

В рассматриваемом случае:

$$\phi_1(i_1, di_1/dt) = (\omega_1 X/L)i_1 - (R/L)di_1/dt.$$

Требование малости $\phi_1(i_1, di_1/dt)$ выполняется, и решение уравнения будет мало отличаться от гармонического [5].

Решение отыскивается в виде

$$i_1 = A(t)\cos[\omega_1 t + \varphi(t)], \quad (3)$$

где $A(t)$ и $\varphi(t)$ – амплитуда и фаза тока i_1 в генераторе – медленно меняющиеся во времени функции, т. е. их изменение за период колебания генератора мало по сравнению с амплитудой колебания.

Найдем первую и вторую производные СВЧ-тока диода (3):

$$\frac{di_1}{dt} = \frac{dA}{dt}\cos[\omega_1 t + \varphi(t)] - A(t)\left(\omega_1 + \frac{d\varphi}{dt}\right)\sin[\omega_1 t + \varphi(t)]; \quad (4)$$

$$\begin{aligned} \frac{d^2 i_1}{dt^2} = & \frac{dA}{dt}\sin[\omega_1 t + \varphi(t)]\left(2\omega_1 + \frac{d\varphi}{dt}\right) + \\ & + \frac{d^2 A}{dt^2}\cos[\omega_1 t + \varphi(t)] - A(t)\omega_1^2 \cos[\omega_1 t + \varphi(t)] - \\ & - 2A(t)\frac{d\varphi}{dt}\omega_1 \cos[\omega_1 t + \varphi(t)] - \\ & - A(t)\left(\frac{d\varphi}{dt}\right)^2 \cos[\omega_1 t + \varphi(t)] - \\ & - A(t)\frac{d^2 \varphi}{dt^2}\sin[\omega_1 t + \varphi(t)]. \end{aligned} \quad (5)$$

В (4) пренебрежем слагаемыми, содержащими dA/dt и $d\varphi/dt$, а в (5) – слагаемыми второго порядка малости, содержащими вторые производные медленно меняющихся функций $A(t)$ и $\varphi(t)$, квадрат первой производной $d\varphi/dt$, а также произведение $(dA/dt)(d\varphi/dt)$:

$$\begin{cases} \frac{di_1}{dt} \approx -A(t)\omega_1 \sin[\omega_1 t + \varphi(t)]; \\ \frac{d^2 i_1}{dt^2} \approx -2\omega_1 \frac{dA}{dt}\sin[\omega_1 t + \varphi(t)] - \\ - A(t)\left(\omega_1^2 + 2\omega_1 \frac{d\varphi}{dt}\right)\cos[\omega_1 t + \varphi(t)]. \end{cases} \quad (6)$$

Подставив выражения (6) в уравнение (2), получим:

$$\begin{aligned} & 2\omega_1 (dA/dt)\sin[\omega_1 t + \varphi(t)] - \\ & - A(t)\left[\omega_1^2 + 2\omega_1 (d\varphi/dt)\right]\cos[\omega_1 t + \varphi(t)] - \\ & - (R/L)A(t)\omega_1 \sin[\omega_1 t + \varphi(t)] + \\ & + (\omega_0^2 - \omega_1 X/L)A(t)\cos[\omega_1 t + \varphi(t)] = 0, \end{aligned}$$

откуда имеем два уравнения:

$$dA/dt + [R/(2L)]A = 0;$$

$$d\varphi/dt + (1/2)(\omega_1 - \omega_0^2/\omega_1) + X/(2L) = 0.$$

Выражение для импеданса диода запишем в следующем виде [6], [7]:

$$\begin{aligned} Z_{p-n} = & \frac{1}{\omega_1 C_{dr}} \frac{\beta_L^2 \phi(E_1)}{\beta_L^2 \phi(E_1) - 1} \frac{1 - \cos \theta_{dr}}{\theta_{dr}} + \\ & + j \frac{1}{\omega_1 C_{dr}} \left\{ \frac{\beta_L^2 \phi(E_1)}{\beta_L^2 \phi(E_1) - 1} \frac{\sin \theta_{dr}}{\theta_{dr}} - \right. \\ & \left. - 1 + \frac{l_a}{[\beta_L^2 \phi(E_1) - 1](W - l_a)} \right\}, \end{aligned} \quad (7)$$

где $\beta_L = \Omega_L/\omega_1$;

$$\phi(E_1) = \frac{2I_1(bE_1)}{(bE_1)I_0(bE_1)}$$

– функция, определяющая амплитудные свойства импеданса [7]; θ_{dr} – угол пролета области дрейфа носителем заряда на центральной частоте; W – ширина заборного слоя; l_a – ширина слоя умножения, причем Ω_L – лавинная частота; I_0 и I_1 – модифицированные функции Бесселя нулевого и первого порядков соответственно; b – параметр аппроксимации коэффициента лавинного умножения; E_1 – амплитуда переменной составляющей напряженности электрического поля.

Лавинная частота определяется как [8]

$$\Omega_L = \sqrt{2I_0 \alpha' l_a / (S \epsilon \tau_a)},$$

где α' – производная коэффициента ионизации при напряженности электрического поля E_{dc} ; S – площадь поперечного сечения p - n -перехода; ϵ – относительная диэлектрическая проницаемость; $\tau_a = l_a/v_s$ – время пролета носителем заряда эквивалентного слоя умножения, причем v_s – скорость носителей заряда.

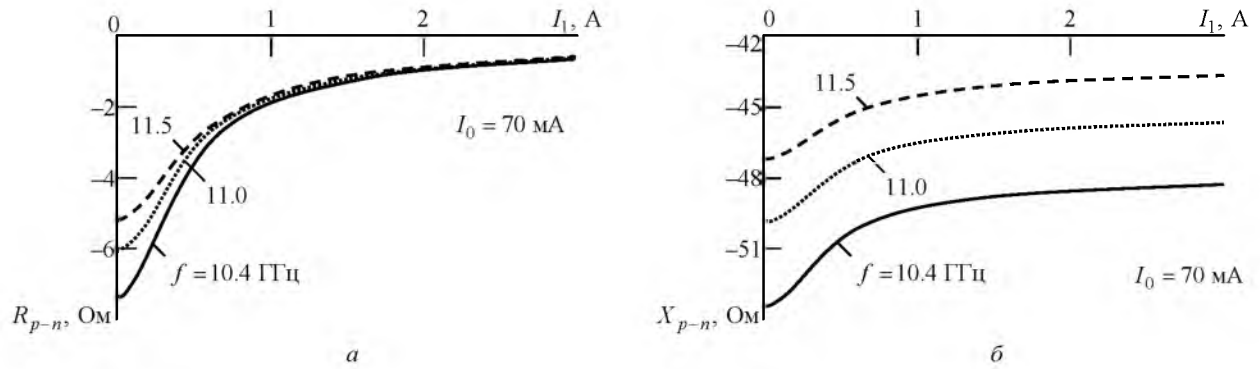


Рис. 1

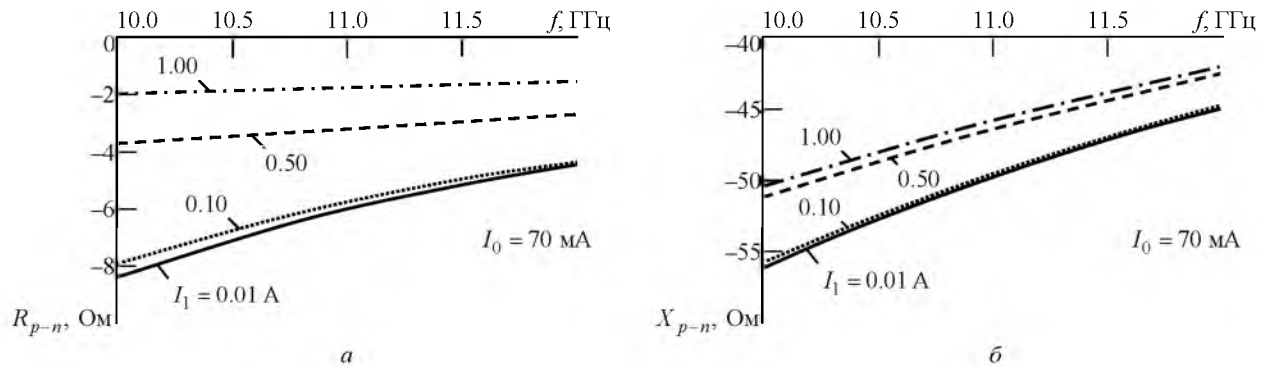


Рис. 2

Разделив в (7) действительную и мнимую части, получим выражения для активной и реактивной составляющих импеданса:

$$\begin{cases} R_{p-n} = \frac{1}{\omega C_{dr}} \frac{\beta_{л\phi}^2(E_1) - 1}{\beta_{л\phi}^2(E_1) - 1} \frac{1 - \cos \theta_{dr}}{\theta_{dr}}; \\ X_{p-n} = \frac{1}{\omega C_{dr}} \left\{ \frac{\beta_{л\phi}^2(E_1)}{\beta_{л\phi}^2(E_1) - 1} \frac{\sin \theta_{dr}}{\theta_{dr}} - 1 + \right. \\ \left. + \frac{l_a}{[\beta_{л\phi}^2(E_1) - 1](W - l_a)} \right\}. \end{cases} \quad (8)$$

В приведенных далее результатах подразумевается использование ЛПД типа 3A707B, работающего, согласно техническим условиям, в диапазоне частот 10.4...11.7 ГГц. Кристалл диода изготовлен из арсенида галлия, в связи с чем использованы следующие электрофизические параметры этого материала: $\epsilon = 12$; $S \approx 11.7 \cdot 10^{-9} \text{ м}^2$; $v_s = 9 \cdot 10^4 \text{ м/с}$; $\theta_{dr} = 0.744\pi$; $l_a \approx 0.2W$; $W = 3.84 \cdot 10^{-6} \text{ м}$. Напряженность электрического поля при рабочем напряжении U_{dc} определим по выражению $E_{dc} = 2U_{dc}/W$. Тогда при $U_{dc} = 60 \text{ В}$ $E_{dc} = 3.125 \cdot 10^7 \text{ В/м}$. Емкость пролетной области $C_{dr} = 0.4 \text{ пФ}$.

С учетом указанных параметров получены зависимости импеданса ЛПД от амплитуды СВЧ-тока для трех значений частоты СВЧ-тока диода $f_1 = \omega_1/(2\pi)$ (рис. 1) при токе питания 70 мА.

На рис. 2 приведены зависимости активной и реактивной частей импеданса ЛПД от частоты СВЧ-тока при токе питания диода 70 мА для нескольких значений амплитуды СВЧ-тока.

Из рис. 1, а и 2, а следует, что активная часть импеданса ЛПД существенно зависит от амплитуды СВЧ-тока и в гораздо меньшей степени – от его частоты. Таким образом, для упрощения расчетов существует возможность пренебречь частотной зависимостью активной части импеданса диода и учитывать только влияние амплитуды СВЧ-тока. Напротив, реактивная часть импеданса ЛПД существенно зависит и от амплитуды, и от частоты СВЧ-тока (рис. 1, б и 2, б), поэтому в аппроксимирующих выражениях необходимо учитывать влияние обоих параметров.

Аппроксимация выражений для расчета импеданса диода. Выражения для определения амплитудной зависимости импеданса ЛПД (8) весьма громоздки и в силу этого не удобны для практического применения. В определенном интервале изменения амплитуды колебаний генератора амплитудная зависимость импеданса может быть аппроксимирована полиномом, степень которого

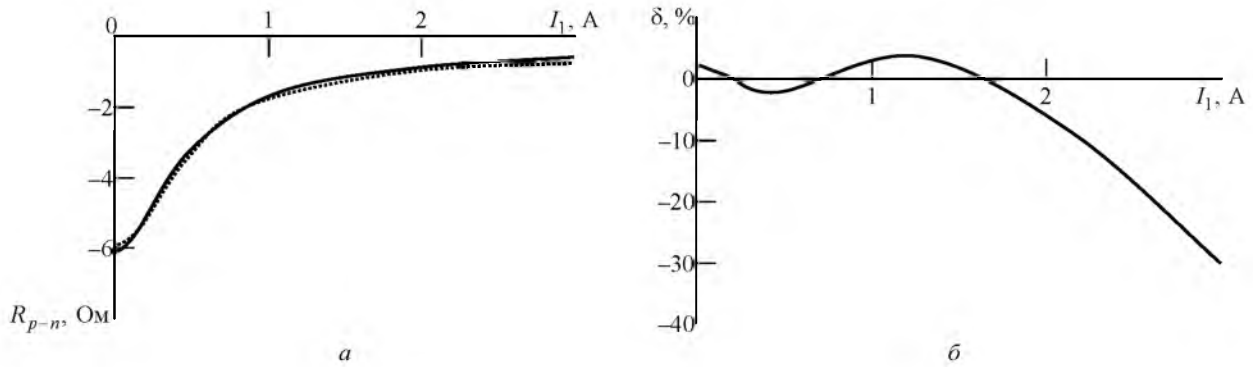


Рис. 3

зависит от диапазона изменения амплитуды СВЧ-тока. При использовании полиномиальной аппроксимации коэффициенты полинома имеют конкретное физическое значение. Однако при достаточно широком интервале изменения амплитуды колебаний генератора, в котором должны быть справедливы приближенные выражения для импеданса диода, необходимо применение дробно-рациональной аппроксимации.

В широком диапазоне значений амплитуд СВЧ-тока приближение зависимости активной части импеданса ЛПД от амплитуды этого тока можно осуществить с помощью дробно-рациональной функции

$$R_{p-n}(I_1) = \frac{c_1 + c_2 I_1^2}{c_3 + c_4 I_1^2},$$

где c_1, c_2, c_3 и c_4 – коэффициенты аппроксимации. При $I_0 = 70$ мА и $f = 10.4$ ГГц значения коэффициентов:

$$c_1 = -3.669; c_2 = -1.793; c_3 = 0.514; c_4 = 2.488.$$

На рис. 3, а приведены исходная зависимость активной части импеданса ЛПД от амплитуды СВЧ-тока (пунктирная линия) и ее аппроксимация (сплошная линия), полученные в указанных условиях. На рис. 3, б показана относительная

погрешность аппроксимации зависимости активной части импеданса ЛПД от амплитуды СВЧ-тока. Из рис. 3, б следует, что относительная погрешность аппроксимации при амплитуде СВЧ-тока менее 2 А не превышает 8 %, а при амплитуде СВЧ-тока менее 0.5 А – не превышает 3.5 %.

Аппроксимация активной части импеданса ЛПД с учетом частотной зависимости. Для более точной аппроксимации зависимости активной части импеданса ЛПД необходимо учитывать и ее частотную зависимость. Для этого аппроксимирующее выражение необходимо изменить следующим образом:

$$R_{p-n}(I_1) = \frac{c_1 + c_2 I_1^2}{c_3 + c_4 I_1^2 + c_5 I_1^3 + (1 - c_6 \omega)}. \quad (9)$$

При $I_0 = 70$ мА коэффициенты аппроксимации имеют следующие значения:

$$c_1 = 8.633; c_2 = 12.496; c_3 = 3.0545;$$

$$c_4 = -6.477; c_5 = -3.754; c_6 = 8.04 \cdot 10^{-11}.$$

На рис. 4, а приведен результат сравнения исходной зависимости (пунктирные линии) и аппроксимации (сплошные линии) активной части импеданса ЛПД от амплитуды СВЧ-тока для трех частот СВЧ-тока рабочего диапазона диода при токе питания 70 мА. На рис. 4, б приведена относительная погрешность аппроксимации амплитудной зависимо-

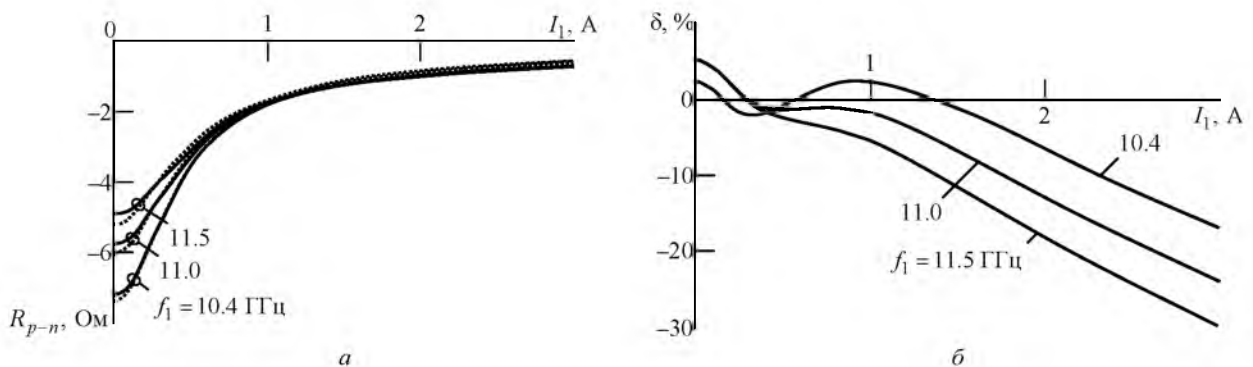


Рис. 4

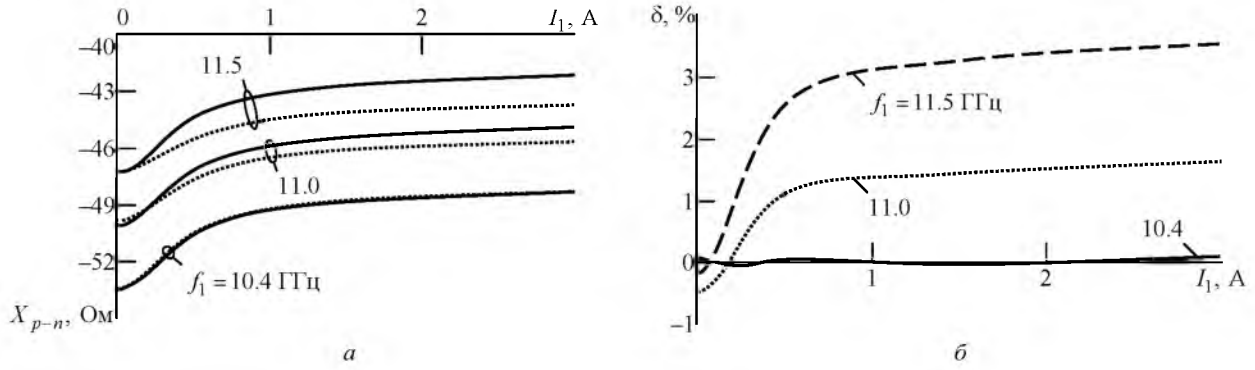


Рис. 5

сти активной части импеданса ЛПД с учетом частотной зависимости для этих же трех частот. Из рис. 4 следует, что относительная погрешность аппроксимации амплитудной зависимости активной части импеданса ЛПД при учете частотной зависимости не превышает 18 % при амплитуде СВЧ-тока менее 2 А и 5 % при амплитуде СВЧ-тока менее 0.5 А.

Аппроксимация реактивной части импеданса. Зависимость реактивной части импеданса ЛПД от амплитуды СВЧ-тока и частоты также аппроксимирована дробно-рациональной функцией:

$$X_{p-n}(I_1, \omega_1) = \frac{d_1 + d_2 I_1^2 + d_3 I_1^3}{d_4 + d_5 I_1^2 + d_6 I_1^3} + d_7 \omega_1 + d_8, \quad (10)$$

где $d_i, i = \overline{1, 8}$ – коэффициенты аппроксимации.

На рис. 5, а приведены исходные (пунктирные линии) и аппроксимированные (сплошные линии) зависимости реактивной части импеданса ЛПД от амплитуды СВЧ-тока для трех частот рабочего диапазона диода при $I_0 = 70$ мА. Относительная погрешность аппроксимации показана на рис. 5, б. Эта погрешность не превосходит нескольких процентов для $I_1 < 3$ А.

Определение параметров генератора при работе на согласованную нагрузку проведем на основании амплитудного и фазового уравнений:

$$dA/dt + [R/(2L)]A = 0; \quad (11)$$

$$d\varphi/dt + (1/2)(\omega_1 - \omega_0^2/\omega_1) + X/(2L) = 0. \quad (12)$$

Уравнение (11) определяет амплитуду стационарных автоколебаний A_0 , которая, как следует из уравнения, не зависит от реактивной проводимости. Такое положение справедливо, если в пределах изменения частоты ω_1 , вызванного изменением реактивной проводимости, величины R_{p-n} и R_H не зависят от частоты. Это условие на практике вы-

полняется в большинстве случаев, поэтому при расчетах диодных генераторов обычно пренебрегают частотной зависимостью активной части импеданса [9]. Уравнение (12) определяет частоту стационарных автоколебаний.

В стационарном режиме $dA/dt = 0$ и $d\varphi/dt = 0$. Тогда из (11) имеем: $R_{p-n}(A_0) + R_K + R_H = 0$, где R_K – сопротивление потерь контура генератора.

Это выражение отражает баланс амплитуд.

Если потери в контуре незначительны, то можно полагать $R_H + R_K \approx R_H$ и

$$R_{p-n}^*(A_0) = -R_H, \quad (13)$$

где R_{p-n}^* – активная составляющая импеданса в стационарном режиме.

Подставив в (13) выражение для активной части импеданса диода (9), получим:

$$\begin{aligned} -R_H &= (c_1 + c_2 A_0^2) / (c_3 + c_4 A_0^2); \\ -R_H c_3 - R_H c_4 A_0^2 &= c_1 + c_2 A_0^2. \end{aligned}$$

Отсюда:

$$A_0 = \sqrt{\frac{R_H c_3 + c_1}{R_H c_4 + c_2}}.$$

Зависимость амплитуды колебаний от сопротивления нагрузки при $I_0 = 70$ мА приведена на рис. 6.

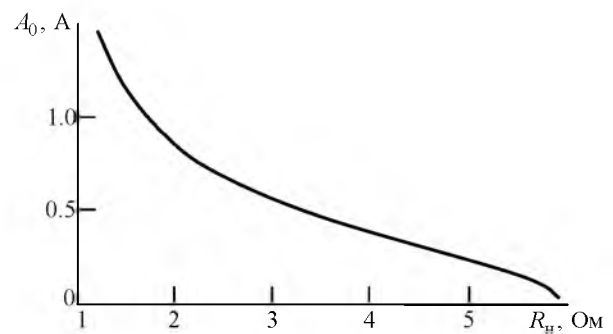


Рис. 6

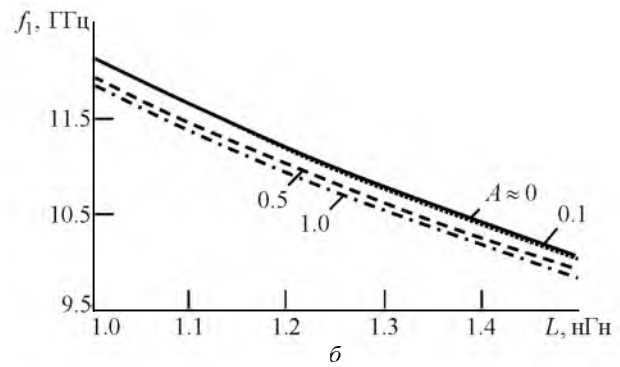
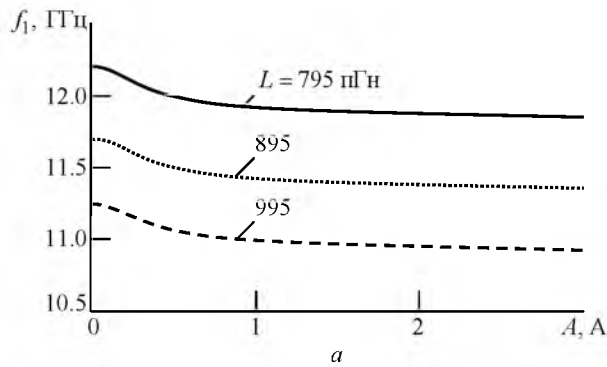


Рис. 7

Перейдем к анализу фазового уравнения (12). В условиях стационарности (10) получает вид

$$\omega_1 - \omega_0^2 / \omega_1 + \frac{1}{L} \left(\frac{d_1 + d_2 A^2 + d_3 A^3}{d_4 + d_5 A^2 + d_6 A^3} + d_7 \omega_1 + d_8 - X_{C_{dr}} \right) = 0.$$

Введем обозначение для совокупности составляющих реактивной части импеданса диода, не зависящих от частоты колебания генератора:

$$X(A) = \frac{d_1 + d_2 A^2 + d_3 A^3}{d_4 + d_5 A^2 + d_6 A^3} + d_8.$$

После ряда преобразований получим уравнение для определения частоты колебания генератора:

$$\left(1 + \frac{d_7}{L} \right) \omega_1^2 + \left[\frac{X(A) - X_{C_{dr}}}{L} \right] \omega_1 - \omega_0^2 = 0.$$

Решив полученное квадратное уравнение относительно круговой частоты ω_1 и перейдя к ли-

нейной частоте, получим выражение для частоты колебания генератора в стационарном режиме:

$$f_1 = \frac{1}{4\pi(1 + d_7/L)} \left\{ - \left[X(A_0) - X_{C_{dr}} \right] / L + \sqrt{\left[X(A_0) - X_{C_{dr}} \right]^2 / L + 4(1 + d_7/L)\omega_0^2} \right\}.$$

Зависимости частоты автоколебаний генератора от амплитуды выходного тока для некоторых значений индуктивности резонатора приведены на рис. 7, а. На рис. 7, б представлены зависимости частоты автоколебаний от индуктивности резонатора для некоторых значений амплитуды.

Полученные зависимости с учетом оценок погрешностей аппроксимаций позволяют сделать вывод о том, что предложенные в работе аппроксимации импеданса ЛПД удовлетворительны, а расчеты основных параметров генератора на ЛПД достаточно близки к соответствующим параметрам генератора, реализуемого на конкретном диоде 3A707B [10].

СПИСОК ЛИТЕРАТУРЫ

1. Демьяненко А. В., Семерник И. В., Алексеев Ю. И. Экспериментальное исследование динамики развития хаотических колебаний в генераторе на лавинно-пролетном диоде в присутствии собственного отраженного сигнала // *Нелинейный мир*. 2014. Т. 12, № 1. С. 25–28.
2. Демьяненко А. В. Исследование шумовых параметров генератора на лавинно-пролетном диоде в режиме хаотической генерации // *Изв. вузов России. Радиоэлектроника*. 2012. № 5. С. 110–113.
3. Алексеев Ю. И., Демьяненко А. В., Семерник И. В. Исследование ганновского генератора в детерминированном и хаотическом режимах // *Приборы и техника эксперимента*. 2013. № 6. С. 39–41.
4. Семерник И. В., Алексеев Ю. И., Демьяненко А. В. Исследование возможности возбуждения хаотических колебаний в генераторе на лавинно-пролетном диоде путем введения неоднородности в выходную линию передачи // *Изв. вузов. Физика*. 2013. Т. 56, № 8/2. С. 337–339.
5. Капранов М. В., Кулешов В. Н., Уткин Г. М. Теория колебаний в радиотехнике: учеб. пособие для вузов. М.: Наука, 1984. 320 с.
6. Алексеев Ю. И., Демьяненко А. В., Семерник И. В. Исследование хаотических состояний автоколебательных систем. Генератор на лавинно-пролетном диоде. Saarbrücken, Deutschland: LAP LAMBERT Acad. Publ. GmbH & Co. KG, 2013. 133 с.
7. Тагер А. С., Вальд-Перлов В. М. Лавинно-пролетные диоды и их применение в технике СВЧ. М.: Сов. радио, 1968. 480 с.
8. Зи С. Физика полупроводниковых приборов. М.: Мир, 1984. 455 с.
9. Давыдова Н. С., Данюшевский А. В. Диодные генераторы и усилители СВЧ. М.: Радио и связь, 1986. 184 с.
10. Демьяненко А. В. Анализ работы генератора на лавинно-пролетном диоде под воздействием оптического излучения // *Изв. Южного федер. ун-та. Технические науки*. 2013. № 11 (148). С. 165–175.

A. V. Demyanenko, I. V. Semernick, Yu. I. Alekseev
Southern federal university (Taganrog)

IMPATT oscillator's parameters analysis under operation with a matched load

The results of self-oscillator based on the IMPATT diode equation solution under operation with a matched load are discussed. With a glance of impedance features of IMPATT diode the relationships that define amplitude and frequency of oscillations are given.

Microwave oscillator, IMPATT diode, impedance features

Статья поступила в редакцию 12 сентября 2014 г.

УДК 621.382

И. В. Семерник, Ю. И. Алексеев, А. В. Демьяненко
Южный федеральный университет (Таганрог)

Исследование динамики развития хаотической генерации в детерминированной автоколебательной системе на лавинно-пролетном диоде¹

Обсуждаются теоретические и экспериментальные результаты исследования возможности получения хаотической генерации в детерминированной системе – автогенераторе на лавинно-пролетном диоде.

Динамический хаос, СВЧ-генератор, лавинно-пролетный диод, хаотические колебания

Динамический хаос в активных СВЧ-системах представляет значительный интерес и обладает большими потенциальными возможностями в сфере прикладных исследований и разработок. Источники хаотических колебаний создаются на основе различных нелинейных элементов. Однако в диапазоне частот выше нескольких гигагерц аналогов генераторам хаотических колебаний на основе СВЧ-диодов с отрицательным сопротивлением [1]–[5] пока не существует. Устройства на основе высокочастотных транзисторов и интегральных схем способны работать в частотном диапазоне вплоть до нескольких гигагерц, но выходная мощность таких приборов, как правило, мала, а КПД не превышает несколько процентов.

Хаотическая генерация в детерминированных автоколебательных системах в СВЧ-диапазоне на основе твердотельных активных элементов с отрицательным сопротивлением открывает возможность получения шумовых источников на основе достаточно простых конструктивных решений, с одной стороны, при высоких уровнях выходной мощности – с другой.

В настоящее время признано [2]–[4], что существенно более мощные шумовые источники получаются на основе автогенераторов на лавинно-пролетных диодах (ЛПД), переведенных специальными приемами в режим динамического хаоса. Это позволяет иметь шумовые генераторы, выходная мощность которых на 3–4 порядка превышает мощность генераторов шума, полученных традиционным путем [3]–[6]. Однако разработка подобных устройств требует наличия достоверной теоретической модели генератора хаотических колебаний на ЛПД, достаточно точно отображающей процессы, происходящие в анализируемой системе.

В настоящей статье на основе предложенной модели проведен численный анализ регенеративной автоколебательной системы – генератора на ЛПД, на выходе которого присутствует неоднородность, вызывающая появление в системе собственного сигнала с некоторой фазовой задержкой [7]. На основании разработанной модели выполнен и экспериментально исследован шумовой генератор, в котором стимулирование хаотической генерации осуществляется искусственным

¹ Результаты, изложенные в статье, получены в рамках выполнения гранта № 8.2461.2014/К.